

مقایسه تغییرات کیفی روغن‌های سویا، پالم‌اوئین و ذرت در طی فرآیند سرخ کردن عمیق

محمد رضا تورانی^{۱*}، علیرضا صادقی ماهونک^۲، امان محمد ضیایی فر^۳، محمد قربانی^۴، فرح ناز ثابت^۵

^۱ دانش آموخته کارشناسی ارشد علوم و صنایع غذایی، دانشگاه علوم کشاورزی و منابع طبیعی گرگان، ایران

^۲ استادیار گروه علوم و صنایع غذایی دانشگاه علوم کشاورزی و منابع طبیعی گرگان، ایران

^۳ کارشناس اداره کل استاندارد و تحقیقات صنعتی فارس، شیراز، ایران

تاریخ پذیرش: ۱۳۹۱/۱۱/۲

تاریخ دریافت: ۱۳۹۱/۸/۲۲

چکیده

هدف از این پژوهش شناسایی و بررسی فراوانی اسیدهای چرب سازنده روغن‌های سویا، پالم‌اوئین و ذرت در راستای ارزیابی رفتار این سه روغن در تولید محصولات اولیه، ثانویه و نهایی اکسیداسیون در طی فرآیند حرارتی می‌باشد. تمامی روغن‌ها در دمای ۱۸۰ درجه سانتی گراد در طی ۸ ساعت به صورت مداوم حرارت دهی شدند. بررسی اسیدهای چرب روغن‌ها توسط دستگاه گازکروماتوگرافی تعیین گردید. اندیس آنیزیدین، میزان دی ان مزدوج، درصد ترکیبات قطبی کل و اندیس پراکسید روغن‌ها برای ارزیابی پایداری اکسیداتیو آن‌ها در طی فرآیند حرارت دهی، مورد استفاده قرار گرفتند. نتایج آزمون‌ها نشان داد که روغن پالم‌اوئین با دارا بودن بیشترین مقدار اسید چرب اشباع (۴۸/۶۶) و کمترین مقدار اسیدهای چرب چند غیر اشباعی (۷/۵۳)، بیشترین پایداری حرارتی را دارد. روغن سویا با ۷/۲ درصد اسید لینولنیک بیشترین مقدار اندیس آنیزیدین و درصد ترکیبات قطبی را دارا بود که نشان از ضعف این روغن در برابر فرآیند حرارتی است. اندیس آنیزیدین تقریباً برای تمامی روغن‌ها با افزایش زمان سرخ کردن افزایش یافت و میزان دی ان مزدوج در روغن سویا بیشتر از سایر روغن‌ها بود.

واژه‌های کلیدی: گازکروماتوگرافی، روغن سویا، سرخ کردن عمیق، پایداری حرارتی.

* مسؤول مکاتبه: tooran_i_mr@ymail.com

۱- مقدمه

هیدروژناسیون جزئی، اصلاح اسید چرب توسط استریفیکاسیون و هم‌چنین مخلوط کردن روغن‌های مختلف جهت اصلاح اسیدهای چرب می‌باشدند (۷ و ۱۰). ترکیبات فرار ناشی از فرآیند سرخ کردن شامل هیدروکربن‌ها، الکل‌ها، اسیدها، آلدیدها، فوران‌ها و پراکسیدهای اسیدهای کربوکسیلیک می‌باشند که شاخصی مناسب جهت ارزیابی کیفیت روغن فرآیند شده هستند (۱۶). روغن پالم به دلیل حضور حدود پنجاه درصد اسید چرب پالmitik و حضور کارتوئیدهای فراوان پایداری اکسیداتیو مناسبی دارد (۱۶). با این حال وجود اسید چرب با اشباعیت زیاد موجب بیماری‌های بسیاری از جمله تصلب شرایین و قلبی، عروقی می‌شود (۱۶). اکسیداسیون چربی‌ها یکی از عمده‌ترین واکنش‌های روغن در طی سرخ کردن عمیق روغن‌ها است که در مرحله مقدماتی آن رادیکال آزاد تشکیل شده با حمله به جایگاه پیوند دوگانه باعث جابجایی باند دوگانه یا تشکیل هیدروپراکسیدها می‌شوند (۱۷). هدف از انجام این تحقیق شناسایی و بررسی فراوانی اسیدهای چرب سازنده روغن‌های سویا، پالمولین و ذرت در راستای ارزیابی رفتار این سه روغن در تولید محصولات اولیه، ثانویه و نهایی اکسیداسیون در طی فرآیند حرارتی می‌باشد.

۲- مواد و روش‌ها

تمامی روغن‌های مورد مطالعه تصفیه شده و فاقد هرگونه افزودنی یا آنتی اکسیدان و در مورد روغن پالمولین فاقد بتا-کاروتین بوده و از کارخانه غنچه ساری تهیه شدند. همچنین روغن ذرت از شرکت کشت و صنعت گلبرگ بهاران تهیه گردید و کلیه این روغن‌ها بلا فاصله بعد از تولید، خریداری و تا زمان انجام پژوهش در دمای ۱۸-۱۸ درجه سانتی‌گراد و بعد از اتمام فرآیند حرارت دهی و تا قبل از انجام آزمون‌های گوناگون در تاریکی و دمای ۴ درجه سانتی‌گراد نگهداری شدند.

۳- فرآیند حرارت دهی

عملیات سرخ کردن در سرخ کن خانگی فاقد ترمومترات انجام پذیرفت. در این پژوهش جهت تنظیم دقیق دما از یک تنظیم کننده دما با نوسان کمتر از ± 0.1 درجه سانتی‌گراد استفاده شد. هم‌چنین برای توزیع یکنواخت هوا در تمامی نقاط محفظه سرخ کن یک همزن با سرعت معین درون محفظه سرخ کن قرار گرفت. وزن نهایی روغن افزوده شده به محفظه سرخ کن ۲/۱ کیلوگرم بود.

فرآیند سرخ یکی از روش‌های معمول و بسیار پرکاربرد در تولید مواد غذایی در جهان است. ارزش روغن‌های سرخ کردنی به کاهش هرچه بیشتر اسیدهای چرب چند غیر اشباعی مربوط می‌شود که در دماهای بسیار بالا واکنش پذیر و ناپایدار هستند (۱۱). در طی فرآیند سرخ کردن عمیق روغن‌ها معمولاً ترکیبات فرار و غیر فرار ناشی از تجزیه حرارتی و اکسیداتیو اسیدهای چرب غیر اشباع ایجاد می‌گرددند (۵)، که این ترکیبات از لحاظ تغذیه‌ای نامطلوب هستند (۲۲). اکسیداسیون واکنشی است بین اکسیژن محیط و چربی که در محل پیوندهای دوگانه اسیدهای چرب غیر اشباع ایجاد می‌گردد و منجر به ایجاد ترکیبات عطر و طعمی و رنسید شدن روغن می‌گردد (۱۱). فرآوردهای تجزیه‌ای ناشی از فرآیند سرخ کردن شامل پراکسیدها، اسیدهای چرب آزاد، ترکیبات پلیمری، ترکیبات قطبی (الکل‌ها، آلدیدها، کتون‌ها و دیمرها) و اسیدهای چرب اکسید شده می‌باشند که در یک طبقه‌بندی کلی بر اساس وزن به گروه سنگین‌تر از ۱/۸ کیلو دالتون که با نام ترکیبات غیر فرار خوانده می‌شوند و گروه با وزن کمتر که ترکیبات فرار می‌باشند تقسیم‌بندی می‌شوند (۱۳). در مرحله نهایی اکسایش، هیدروپراکسیدها به محصولات ثانویه اکسایش تجزیه شده، میزان نشان کاهش می‌یابد و حتی ممکن است به صفر برسد (۶). اندیس آنیزیدین شاخصی است جهت شناسایی ترکیبات ثانویه اکسیداسیون نظیر آلدیدهای کم فرار به خصوص ۴ و ۲_دی‌انال (2,4_Dienal) و ۲-آلکنال‌ها (Alkenals) می‌باشد. در یک قاعده کلی با کاهش اندیس پراکسید، مقدار پارا-آنیزیدین افزایش می‌یابد از این رو مقدار آنیزیدین نشان‌دهنده شدت زوال پذیری روغن در طی فرایند سرخ کردن است (۲۰). یک روغن با پایداری حرارتی مناسب جهت سرخ کردن باستی دارای اسیدهای چرب چند غیر اشباعی کم از جمله اسید لینولنیک (۱۸:۳) و اسید لینولئیک (۱۸:۲) بوده و مقدار بسیار بالایی اسید اولئیک (۱۸:۱) و مقدار محدودی اسید چرب اشباع باشد (۹ و ۱۲). روغن سویا بیشترین مقدار تولید را در سراسر جهان از آن خود کرده است که از ارزش تغذیه‌ای مناسبی برخوردار بوده و منبع بسیار خوبی از اسیدهای چرب ضروری است اما به دلیل پایداری اکسیداتیو کم، روغن مطلوبی جهت سرخ کردن نمی‌باشد (۲۱). روشن‌های گوناگونی جهت اصلاح پایداری اکسیداتیو روغن‌های با غیر اشباعیت زیاد مورد استفاده قرار گرفته است که از این جمله

۳-۲-۲- اندازه‌گیری عدد دی‌ان‌مژدوج

نمونه روغن به نسبت ۱:۶۰ با ایزواکتان (گرم به میلی لیتر) رقیق شد. سپس اختلاف جذب نمونه رقیق شده در طول موج ۲۳۳ نانومتر با جذب شاهد (ایزواکتان فاقد نمونه) اندازه‌گیری شد (۱۷).

جهت بررسی پایداری حرارتی روغن‌های مورد بحث و رفتار آنها در طی روند افزایش دما، نمونه‌برداری در دماهای ۲۰، ۱۰۰، ۱۵۰ و ۱۸۰ درجه سانتی‌گراد در زمان ۰، ۱، ۲، ۴، ۶ و ۸ ساعت انجام گرفت. $T=180^{\circ}\text{C}$ در زمان‌های ۱، ۲، ۴، ۶ و ۸ ساعت انجام گرفت.

۴-۲-۲- محاسبه مقدار پارا-آنیزیدین

مقدار ان迪س آنیزیدین به روش (PORIM) تعیین گردید که به دلیل سلطان‌زایی بنزیدین از ترکیب پارا-آنیزیدین استفاده شد (۲۰).

۵-۲-۲- اندازه‌گیری ان迪س پراکسید

ان迪س پراکسید توسط روش (AOAC، ۲۰۰۵) محاسبه گردید. بدین صورت که بسته به میزان پراکسید روغن ۰/۵ تا ۵ گرم نمونه برداشته شد (۳).

۳-۲- تجزیه و تحلیل آماری

این تحقیق در قالب طرح کاملاً تصادفی ساده با سه تکرار انجام شد و نتایج حاصل با استفاده از نرم افزار آماری SAS مورد تجزیه و تحلیل قرار گرفت و مقایسه میانگین داده‌ها با استفاده از آزمون چند دامنه‌ای دانکن در سطح آماری ۵ درصد انجام گردید.

۳- نتایج و بحث

توزیع فراوانی اسیدهای چرب روغن‌های مورد بحث در جدول ۱ نمایش داده شده است. روغن پالم‌اوئلین با دارا بودن بیشترین مقدار اسید چرب اشباع (۴۸/۶۶) و کمترین مقدار اسیدهای چرب چند غیر اشباعی (۷/۵۳) انتظار می‌رود که پایداری حرارتی بسیار خوبی در برابر فرآیند حرارتی از خود نشان دهد. در پژوهش مشابهی نیز این موضوع نشان داده شده به طوری که مقدار اسیدهای چرب اشباع پالم‌اوئلین ۴۸/۸ و مقدار اسیدهای چرب چند غیر اشباعی ۶۰/۳ گزارش شده است (۸). روغن سویا با ۷/۲ درصد اسید لیپولینیک انتظار می‌رود که کمترین مقدار پایداری حرارتی را داشته باشد. روغن ذرت با دارا بودن ۰/۶۵ درصد (۱۸:۳)، از لحاظ حضور این اسید چرب اختلاف معنا داری با روغن پالم‌اوئلین از خود نشان نداد. در یک پژوهش مشابه میزان فراوانی اسیدهای چرب روغن ذرت برای مقدار ΣSFA ، ΣMUFA ، ΣPUFA به ترتیب ۱۲، ۳۱/۹، ۵۵/۷ درصد گزارش

۲-۲- آزمون‌ها

۱-۲-۲- تعیین توزیع فراوانی اسیدهای چرب روغن‌ها

ترکیب اسیدهای چرب روغن‌ها توسط دستگاه گازکروماتوگرافی گاز-مایع (Hewlett-pockard) مدل 5890 و با روش استرهای متیل اسیدهای چرب^۱ انجام گرفت. حدود ۰/۳ گرم روغن مورد آزمایش در ۷ میلی لیتر ان-هگزان حل گردید و با ۲ میلی لیتر محلول هیدروکسید پتاسیم متانولی ۲ نرمال به آن اضافه و در دماهای ۵۰ درجه سانتی‌گراد به خوبی مخلوط شد. ۰/۴ میلی لیتر از نمونه بعد از سپری شدن ۵ دقیقه به گازکروماتوگراف تزریق شد.

۲- دستگاه گازکروماتوگراف مجهر به آشکارساز یونی شعله‌ای^۲ بوده و اندازه قطر داخلی ستون آن ۰/۲۵ (میلی متر)، ۶۰ (متر) طول، دماهای بخش تزریق کننده و آشکارساز ۲۵۰ درجه سانتی‌گراد، دماهای محفظه (آون) ۱۹۰ درجه سانتی‌گراد بود. جریان گاز حامل نیتروژن یک میلی لیتر در دقیقه تنظیم گردید. در نهایت سطح منحنی حاصل از دستگاه با منحنی استاندارد مقایسه و نوع و مقدار هر اسید چرب سازنده روغن بر حسب درصد تعیین گردید (۴).

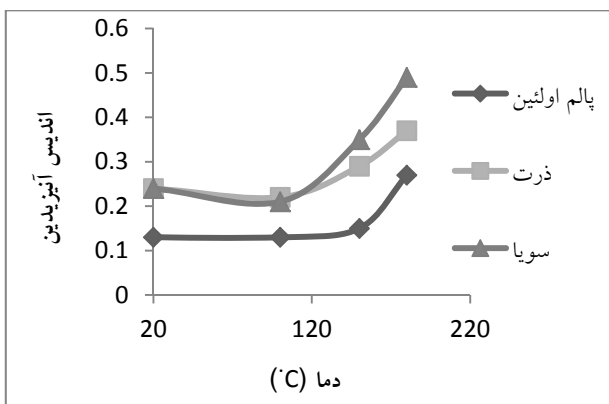
۲-۲-۲- اندازه‌گیری ترکیبات قطبی کل (TPC)^۳

اندازه‌گیری ترکیبات قطبی کل به روش کروماتوگرافی لایه نازک انجام پذیرفت بدین ترتیب که سیلیکاژل به مدت ۲۴ ساعت در دماهای ۱۶۰ درجه سانتی‌گراد خشک گردید و با نسبت ۰/۵ با آب مخلوط و به ستون مورد نظر انتقال داده شد. سیستم حلالی مورد استفاده ایزو-هگزان و دی‌ایزوپروپیل اتر به نسبت ۸۵/۱۵ بود. نمونه روغن با نسبت ۱ به ۹ با تولوئن مخلوط و ۱ میلی لیتر از آن به ستون منتقل شد پس از اتمام عملیات کروماتوگرافی انتهای ستون با تولوئن شسته شد و به روش وزن‌سنجی مقدار ترکیبات قطبی اندازه‌گیری شد (۱۹).

1-FAME

2- Flame ionization detector

3- Total polar compounds



شکل ۱- تغییرات اندیس آنیزیدین در طی روند سرخ کردن بر حسب افزایش دما

تغییرات اندیس آنیزیدین بر حسب زمان در طی روند سرخ کردن در دمای ۱۸۰ درجه سانتی گراد در شکل ۲ نمایش داده شده است. تعیین اندیس آنیزیدین یک آزمون قابل اطمینان جهت ارزیابی محصولات ثانویه اکسیداسیون می‌باشد به این دلیل که پایداری مناسبی در طی فرآیند حرارتی از خود نشان می‌دهد (۲). اندیس آنیزیدین تقریباً برای تمامی روغن‌ها با افزایش زمان سرخ کردن افزایش یافته است. الگوی رشد اندیس آنیزیدین برای روغن سویا در طی فرآیند سرخ کردن متفاوت و کاملاً خطی و صعودی بود اما سایر روغن‌ها از چنین الگویی تبعیت نکردند و منحنی رشد آن‌ها خطی نبود. مقدار اندیس آنیزیدین روغن سویا بعد از ۱ ساعت فرآیند سرخ کردن ۷/۸۴ برآورد گردید که در انتهای فرآیند حرارتی یعنی ۸ ساعت به ۱۰/۲۳ رسید که در همین زمان مقدار تولید این فاکتور برای روغن پالم اولئین عدد ۴۳/۰۱ بود که پایداری بسیار خوبی از خود نشان داد. در انتهای زمان سرخ کردن مقدار آنیزیدین روغن ذرت به ۷۷/۳۹ رسید که منحنی تولید این فاکتور شبیه روغن پالم اولئین بود. عبدالکریم و همکاران (۲۰۰۷)، پایداری حرارتی روغن‌های سویا و پالم اولئین با ساختمان اسیدچربی به ترتیب $\{15/8\}$ درصد $\sum SFA$ ، $\{59\}$ درصد $\sum MUFA$ ، $\{42/7\}$ درصد $\sum PUFA$ و $\{11\}$ درصد $\sum MUFA$ درصد $46/3$ دادند که پس از تحمل ۶ ساعت فرآیند حرارتی در ۱۸۵ درجه سانتی گراد مقدار اندیس آنیزیدین آن‌ها $10/4/1$ برای روغن سویا و $46/25$ برای روغن پالم اولئین گزارش دادند شایان ذکر است که بیشترین رشد اندیس آنیزیدین در همان ۶ ساعت اول فرآیند رخ داده است (۱).

شده است (۱۴). مهم‌ترین اسید چرب سازنده روغن ذرت، اسید لینوئلیک می‌باشد که بیش از نیمی از ساختار این روغن را تشکیل داده است.

تأثیر افزایش دما از دمای محیط (۲۰ درجه سانتی گراد) تا دمای نهایی سرخ کردن (۱۸۰ درجه سانتی گراد) در زمان صفر بر روی تغییرات اندیس آنیزیدین روغن‌ها در شکل ۱ نشان داده شده است. اندیس آنیزیدین روغن پالم اولئین در دمای محیط و قبل از انجام فرآیند حرارتی $13/0$ اندازه گیری شد که در طی افزایش دما تا ۱۵۰ درجه سانتی گراد تغییر چندانی از خود نشان نداد اما بعد از این دما تا دمای نهایی یعنی ۱۸۰ درجه سانتی گراد رشد کرده و به ۰/۲۷ رسید. یکی از موارد قابل توجه در این شکل کاهش معنی‌دار مقدار آنیزیدین در دو روغن دیگر از دمای محیط تا دمای ۱۰۰ درجه می‌باشد که احتمالاً مربوط به خروج آلدهیدهای با فراریت بالا در ابتدای فرآیند حرارتی باشد احتمالاً این موضوع به کمک حرکت پره‌های همزن موجود در محفظه سرخ کن تسریع گردیده است.

جدول ۱- شناسایی و تعیین توزیع فراوانی اسیدهای چرب سازنده روغن‌های مختلف

	اسید چرب	پالم اولئین	ذرت	سویا
(۱۲:۰)	$0/32 \pm 0/02a$	-	-	-
(۱۴:۰)	$0/6 \pm 0/02a$	$0/63 \pm 0/02a$	-	-
(۱۶:۰)	$42/61 \pm 0/06a$	$13/23 \pm 0/02b$	$6/81 \pm 0/09c$	-
(۱۶:۱)	$0/51 \pm 0/03a$	$0/42 \pm 0/01b$	-	-
(۱۸:۰)	$5/13 \pm 0/07a$	$0/79 \pm 0/03b$	$0/79 \pm 0/03b$	-
(۱۸:۱)	$43/3 \pm 0/08a$	$30/06 \pm 0/09b$	$22/65 \pm 0/07c$	-
(۱۸:۲)	$7/12 \pm 0/10$	$54/23 \pm 0/12b$	$59/71 \pm 0/1a$	-
(۱۸:۳)	$0/41 \pm 0/03b$	$0/65 \pm 0/01b$	$7/2 \pm 0/09a$	-
ΣSFA^1	$48/66 \pm 0/15a$	$14/65 \pm 0/02b$	$7/6 \pm 0/11c$	-
$\Sigma MUFA^2$	$43/81 \pm 0/07a$	$30/47 \pm 0/1b$	$22/65 \pm 0/07c$	-
$\Sigma PUFA^3$	$7/53 \pm 0/11c$	$54/88 \pm 0/12b$	$66/91 \pm 0/05a$	-
$\Sigma USFA^4$	$51/34 \pm 0/15c$	$85/35 \pm 0/02b$	$89/56 \pm 0/11a$	-
$\Sigma SFA/\Sigma USFA$	$0/95 \pm 0/006a$	$0/17 \pm 0/b$	$0/085 \pm 0/006c$	-

* اعداد (± انحراف استاندارد) دارای حروف کوچک مشترک در هر ردیف از لحاظ آماری تفاوت معنی‌داری با یکدیگر ندارند (آزمون دانکن، $P < 0.05$)

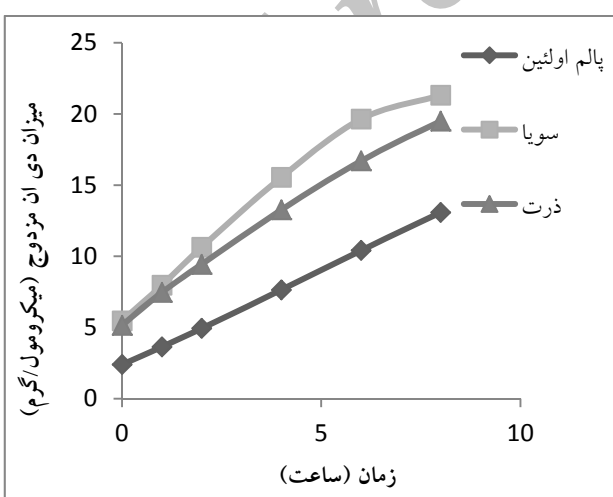
1- Saturated fatty acids

2- Mono unsaturated fatty acids

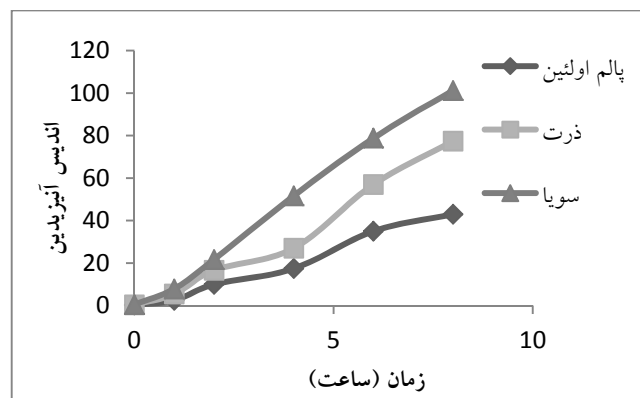
3- Poly unsaturated fatty acids

4- Unsaturated fatty acids

مقدار دیانزدوج که فرآورده‌ای از اکسیداسیون اسیدهای چرب چند غیر اشباعی است (۱)، برای تمامی روغن‌های مورد بحث اندازه‌گیری و در شکل ۴ تغییرات مربوط به این اندیس نشان داده شده است. نتایج بیانگر این واقعیت است که با افزایش زمان سرخ کردن مقدار تولید ترکیبات دیانزدوج افزایش یافته است به شکلی که بیشترین میزان این ترکیبات مربوط به روغن سویا بوده که اختلاف بسیار زیادی با روغن پالم‌اوئلین از خود نشان داده است. مقدار دیانزدوج روغن پالم‌اوئلین پس از تحمل ۸ ساعت فرآیند حرارتی به عدد $13/08$ رسید که پایداری بسیار مناسبی از خود نشان داد. این مسئله احتمالاً به دلیل حضور $91/96$ درصد مجموع اسیدهای چرب اشباع و تک غیراشباعی است که بسیار کم وارد واکنش شده‌اند. برای تشکیل دیانزدوج حداقل بایستی دو باند دوگانه در ساختار اسیدچرب وجود داشته باشد (۱۷)، بنابراین به دلیل عدم وجود بیش از یک پیوند دوگانه، واضح است که میزان اندیس دیانزدوج این روغن رشد چندانی از خود نشان نداده است. میزان دیانزدوج در مورد روغن ذرت نیز پس از ۸ ساعت فرآیند حرارتی به $19/53$ رسید و بنابراین می‌توان این-گونه در نظر گرفت که روغن ذرت در تولید این محصول مقاومت بیشتری نسبت به روغن سویا از خود نشان داده است. نکته قابل بحث در مورد روغن سویا، الگوی منحنی آن در تولید میزان دیانزدوج در محدوده عدد 20 می‌باشد که نشان دهنده کاهش در شدت روند تولید این فاکتور در این بازه است.

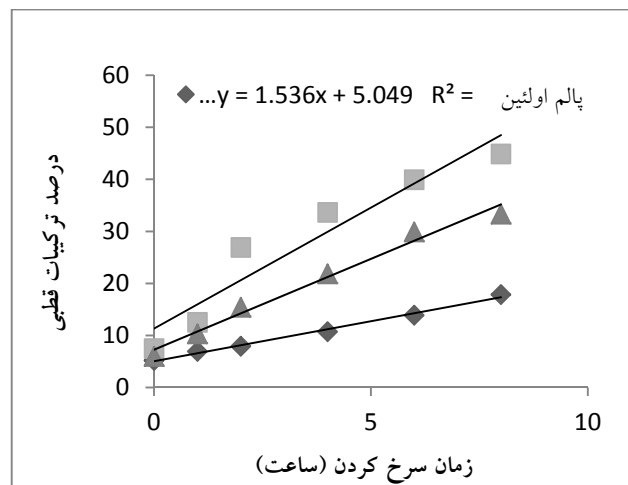


شکل ۴- تغییرات میزان دیانزدوج در طی روند سرخ کردن در دمای 180 درجه سانتی گراد بر حسب افزایش زمان



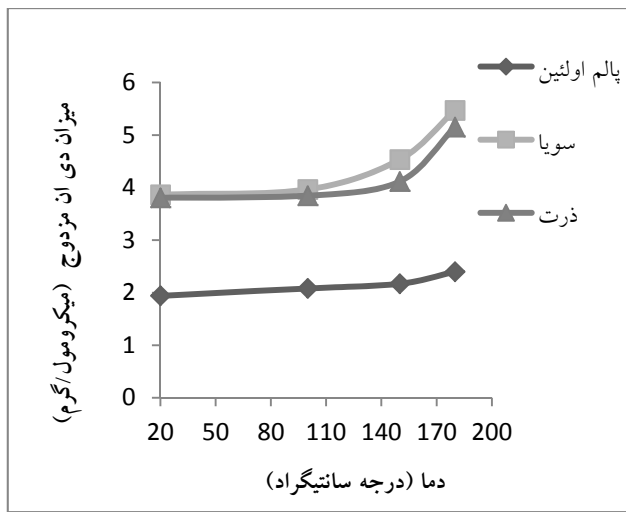
شکل ۲- تغییرات اندیس آنیزیدین در طی روند سرخ کردن در دمای 180 درجه سانتی گراد بر حسب افزایش زمان

در شکل ۳ میزان تولید ترکیبات قطبی در هین فرآیند حرارتی نشان داده شده است. معادله خط هر سه روغن مورد بحث و ضریب همبستگی بین زمان حرارت دهی و میزان رشد ترکیبات قطبی نشان از چگونگی رفتار اکسیداتیو روغن‌ها در طی فرآیند حرارتی می‌باشد. حساسیت روغن سویا نسبت به پروسه حرارتی کاملاً در شکل نمایان است به طوری که بعد از دو ساعت فرآیند حرارتی مقدار تولید این ترکیبات به بیش از 25 درصد رسیده است. این محدوده (25%) به عنوان غیرقابل مصرف شدن روغن‌های سرخ کردنی مورد استفاده قرار می‌گیرد (۱۸). تولید ترکیبات قطبی برای روغن پالم‌اوئلین در طی زمان حرارت دهی چندان تغییر عمده‌ای از خود نشان نداد به طوری که منحنی آن نسبت به دو روغن دیگر مسطح‌تر بوده و پس از 8 ساعت فرآیند حرارتی هنوز هم قابل مصرف می‌باشد.



شکل ۳- تغییرات درصد ترکیبات قطبی در طی روند سرخ کردن در دمای 180 درجه سانتی گراد بر حسب افزایش زمان

۴۰ تا ۵۰ meq/kg تغییر جهت داده و در هفته ۸ به کمتر از ۴۰ meq/kg رسیده است (۱۵).



شکل ۵- تغییرات میزان دیان مزدوج در طی روند حرارت‌دهی بر حسب افزایش دما

نمایش تغییرات دیان مزدوج در طی فرآیند حرارت‌دهی در دماهای مختلف در شکل ۵ ارزیابی شده است. نحوه چگونگی رشد مقدار دیان مزدوج از دمای ۲۰ تا ۱۰۰ درجه سانتی گراد برای تمامی روغن‌ها تقریباً خطی و یکسان بود که نشان دهنده عدم تولید قابل توجه این شاخص است. از دمای ۱۰۰ تا ۱۵۰ درجه سانتی گراد نیز تقریباً این شرایط یکسان است به جز روغن سویا که رفتار متفاوتی داشت و رشد این اندیس بعد از دما ۱۰۰ درجه سانتی گراد شدت بیشتری گرفت. از دمای ۱۵۰ به بعد مقدار تولید این اندیس به یکباره رشد قابل توجهی در اکثر روغن‌ها داشته به نتایج نشان دهنده تأثیر هرچه بیشتر دما بعد از ۱۵۰ درجه سانتی گراد بر روی افزایش تولید مقدار دیان مزدوج است.

در جدول ۲ تغییرات اندیس پراکسید در طی فرآیند سرخ کردن نمایش داده شده است. مقدار اندیس پراکسید برای روغن پالم اوئشین بعد از رسیدن به دمای ۱۸۰ درجه سانتی گراد ۶۰۶ meq/kg برآورد گردید که بعد از باقی ماندن در این دما به مدت ۳۳/۸۹ ساعت این مقدار به صورت خطی رشد نمود و به عدد ۴۳ meq/kg رسید اما در مورد روغن ذرت این گونه بود که پس از تحمل ۴ ساعت فرآیند حرارتی میزان رشد اندیس پراکسید متوقف و در بازه زمانی ۶ ساعت میزان تولید آن کاهش یافت که احتمالاً مربوط به تجزیه پراکسیدها و تبدیل آن‌ها به محصولات ثانویه اکسیداسیون می‌باشد. در مورد روغن سویا بازه تغییر جهت ۲ الی ۴ ساعت بوده که تجزیه پراکسیدها در این فاصله زمانی رخ داده است. نکته قابل بحث در مورد تولید پراکسید پس از نقطه تغییر جهت، نرخ روند از بین رفتن این ترکیب در مقابل مقدار تولید آن می‌باشد که بسیار کمتر است. در تحقیقی با عنوان بازنگری الگوی تغییرات فیزیکوشیمیایی مخلوط روغن‌ها در طی دوره نگهداری گزارش دادند که روغن پالم اوئشین در طی ۷ هفته نگهداری در دمای ۶۰ درجه سانتی گراد مقدار اندیس پراکسید آن در محدوده

۴- نتیجه گیری

پایداری حرارتی روغن سویا از دو روغن دیگر کمتر بود پس می‌توان با مخلوط کردن این سه روغن، روغنی با پایداری حرارتی مناسب یافت که ضمن دارا بودن کمترین مقدار اسید چرب چند غیر اشباعی به خصوص (۱۸:۳) میزان اشباعیت مناسبی نیز دارد باشد که با این کار می‌توان خصوصیات تغذیه‌ای روغن سرخ‌کردنی را تا اندازه‌ای بهبود ببخشد.

۵- سپاس گزاری

برخی از آزمایشات مورد بحث، در مؤسسه استاندارد و تحقیقات صنعتی فارس صورت گرفته بدین وسیله مؤلفان مراتب تشکر خود را از این مؤسسه اعلام می‌دارند.

جدول ۲- مقدار ان迪س پراکسید برای روغن‌های مختلف بر حسب میلی اکسیژن بر کیلوگرم

سویا	ذرت	پالم‌اوئین	زمان (ساعت)	دما (سانتی گراد)
۱/۹۶±۰/۰۱Hb	۲/۹۵±۰/۱۳Ha	۱/۳۶±۰/۰۶Hc	.	۲۰
۲/۰۹±۰/۱۶HGb	۳/۱۶±۰/۰۹HGa	۱/۴±۰/۰۱Hc	.	۱۰۰
۲/۵±۰/۴۲Gb	۳/۲۸±۰/۰۸Ga	۱/۵۴±۰/۰۶Gc	.	۱۵۰
۱۳/۳۴±۰/۸۶Fa	۶/۰۴±۰/۱۳Fb	۶/۰۶±۰/۱۳Fb	.	۱۸۰
۲۷/۷۷±۰/۱۶Ca	۱۸/۵۱±۰/۱۹Eb	۱۵/۵۸±۰/۱۳Ec	۱	۱۸۰
۳۱/۳۸±۰/۵۵Aa	۲۷/۹۲±۰/۱۷Db	۱۶/۷۷±۰/۷۴Dc	۲	۱۸۰
۲۸/۴۶±۰/۴۲Bb	۴۰/۲۴±۰/۵۷Aa	۲۰/۲۶±۰/۳۴Cc	۴	۱۸۰
۲۴/۸۷±۰/۳۵Dc	۳۴/۱±۰/۴۷Ba	۲۷/۹۶±۰/۳۸Bb	۶	۱۸۰
۲۳/۷۵±۰/۳۱Ec	۳۰/۴۸±۰/۴۴Cb	۳۳/۸۹±۰/۱۲Aa	۸	۱۸۰

* اعداد (\pm انحراف استاندارد) دارای حروف کوچک مشترک در هر ردیف از لحاظ آماری تفاوت معنی داری با یکدیگر ندارند (آزمون دانکن، $P < 0.05$)

* اعداد (\pm انحراف استاندارد) دارای حروف بزرگ مشترک در هر ستون از لحاظ آماری تفاوت معنی داری با یکدیگر ندارند (آزمون دانکن، $P < 0.05$)

thermoxidative and hydrolytic changes in sunflower oil use in frying with a fast turnover of fresh oil. *J. Am. Oil Chem. Soc.*, 70: 1069-1073. DOI: 10.1007/BFO2632144.

8- Farhoosh, R., Esmaeilzadeh Kenari, R. and Poorazarang, H. 2009. Frying stability of canola oil blended with palmolein, olive and corn oils. *J. Am Oil Chem. Soc.*, 86: 71-76.

9- Kiatsrichart, S., Brewer, M. S., Cadwalder, K. R. and Artz, W. E. 2003. pan-frying stability of nusun oil, a mid-oleic sunflower oil. *J. Am. oil. Chem. Soc.*, 80:479-483. DOI: 10.1007/s11746-003-0724-y.

10- Mackay, S. 2000. techniques and types of fat used in deep-fat frying. A policy statement and background paper prepared by the heart foundation of Newzeland. 1-62.

11- Malcolmson, I. J., Vaisey-Gensem, M., Przybyls, K. I. and Eskin NAM, R. 1994. Sensory stability of canola oil: present status of shelf life studies. *J. Am. Oil Chem. Soc.*, 71: 435-440.

12- Mehta, U. and Swinburn, B. 2001. A review of factors affecting fat absorption in hot chips. *Crit. Rev. Food Sci Nutr.*, 41(2) : 133-154 DOI: 10.1080/2001, 409, 1091788.

13- Melton, S. L., Jafar, S., Sykes, D. and Trigiano, M. K. 1994. Review of stability measurements for

۶- منابع

- 1- Abdulkarim, S. M., Long, K., Lai, O. M., Muhammad, S. K. S. and Ghazali, H. M. 2007. Frying quality and stability of high-oleic moringa oleifera seed oil in comparison with other vegetable oils. *Food Chem.*, 105: 1382-1389, doi: 10.1016/j.foodchem.2007.05.030.
- 2- Al-Kahtani, H. A. 1991. Survey of quality of used frying oils from restaurants. *J. Am. Oil Chem. Soc.*, 68: 857-862.
- 3- AOAC. 2005. Official methods of the Association of official analytical chemists. (18 Th. Ed). Gaithersburg: AOAC international.
- 4- AOCS. 1989. Official Methods and Recommended Practices of the American Oil Chemists' Society, 4th edn. American Oil Chemists' Society, Champaign.
- 5- Blumental, M. M. 1991. Anew look at the chemistry and physics of deep-fat frying. *Food Technology*, 94: 68-71.
- 6- Chatzilazarou, A., Gortzi, O., Lalas, S., Zoidis, E. and Tsaknis, J. 2006. Physicochemical changes of olive oil and selected vegetable oils during frying. *J. Food Lipids*, 13: 27-35.
- 7- Cuesta, C., Sanchez-Muniz, F. J., Garrido-polonio, S., Lopez-Varela, S. and Arroyo, R. 1993.

frying oils and fried food flavor. *J. AM. Oil Chem. Soc.*, 71: 1301-1312.

14- Muik, B., Lendi, B., Molina-Diaz, A. and Ayora-Canada, A.M. 2005. Direct monitoring of Lipid Oxidation in Edible Oils by Fourier Transform Raman Spectroscopy. *J. Chem. and Lipids*, 134: 173-182.

15- Naghshine, M., Ariffin, A. Z., Ghazali, H. M., Mirhosseini, H., Kuntom, A. and Mohamad, S. A. 2009. Monitoring the change patterns of physicochemical properties of oil blend as function of storage time. *J. Food Agri. and En.* Vol.7 (3&4) : 120-125.

16- Ong, A. S. H. 1994. Nutritional aspects of palm oil: an introductory review. *Asia pacific J. Clin Nutr.* 3: 201-206.

17- Ronald, b. 2001. measurement of primary lipid oxidation products. Current protocols in food analytical chemistry. D2.101- D2. 1015.

18- Sanchez-Gimeno, A.C., A.I. Negueruela, M. Benito, A. Vercet and R. Oria, 2008. Some physical changes in Bajo Aragon extera virgin olive oil during the frying process. *Food Chem.*, 110 (3) : 654-658. DOI: 10.1016/j.food chem.2008.02.057.

19- Schulte E. (2004. Economical micro method for determination of polar components in frying fats. *Eur. J. Lipid Sci. Technol.* 106:772–776

20- Shahidi, F. and Wanasundara, U. 2002. methods for measuring oxidative rancidity in fat and oils. In Akoh, c. c. and Min, D. B. (eds). *Food lipids. Chemistry. Nutrition and biotechnology*. Marcel Dekker Inc. New York USA.

21- Steenson, D. F. and Min, D. B. 2000. Effects of B carotene and lycopene thermal degradation production the oxidative stability of soybean oil. *J. Chem. Soc.*, 77(11) : 1153-1160. INIST: 204, 35400009343956. 0060.

22- Whero, f. and Birch, J. 1997. Evaluation of the food oil sensor for on-site monitoring of frying oil quality. *The Food Technologist*. 27(1) : 19-21.